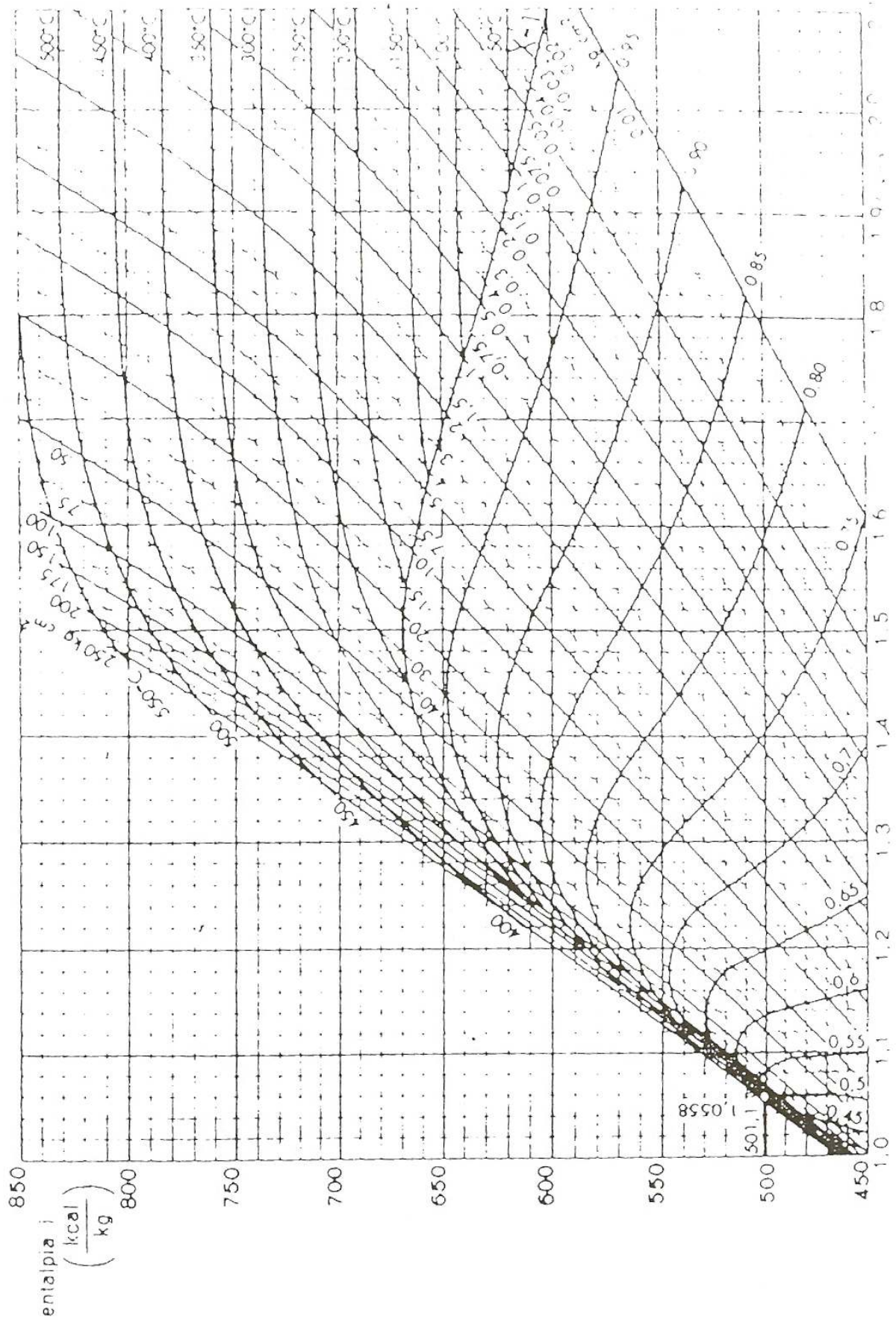
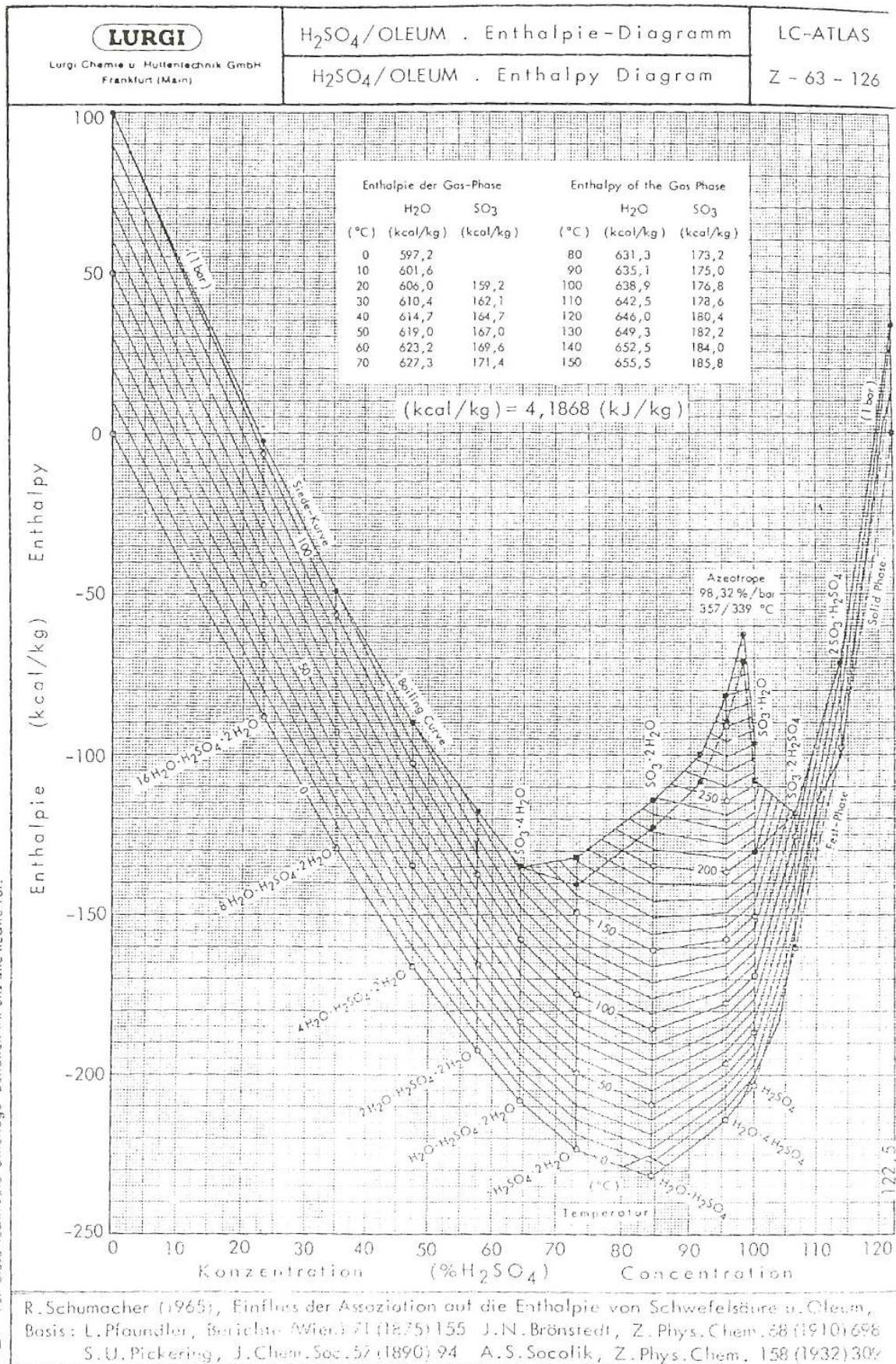


DIAGRAMA DE MOLLIER DEL VAPOR DE AGUA




ENTALPÍA – CONCENTRACIÓN ÁCIDO SULFÚRICO

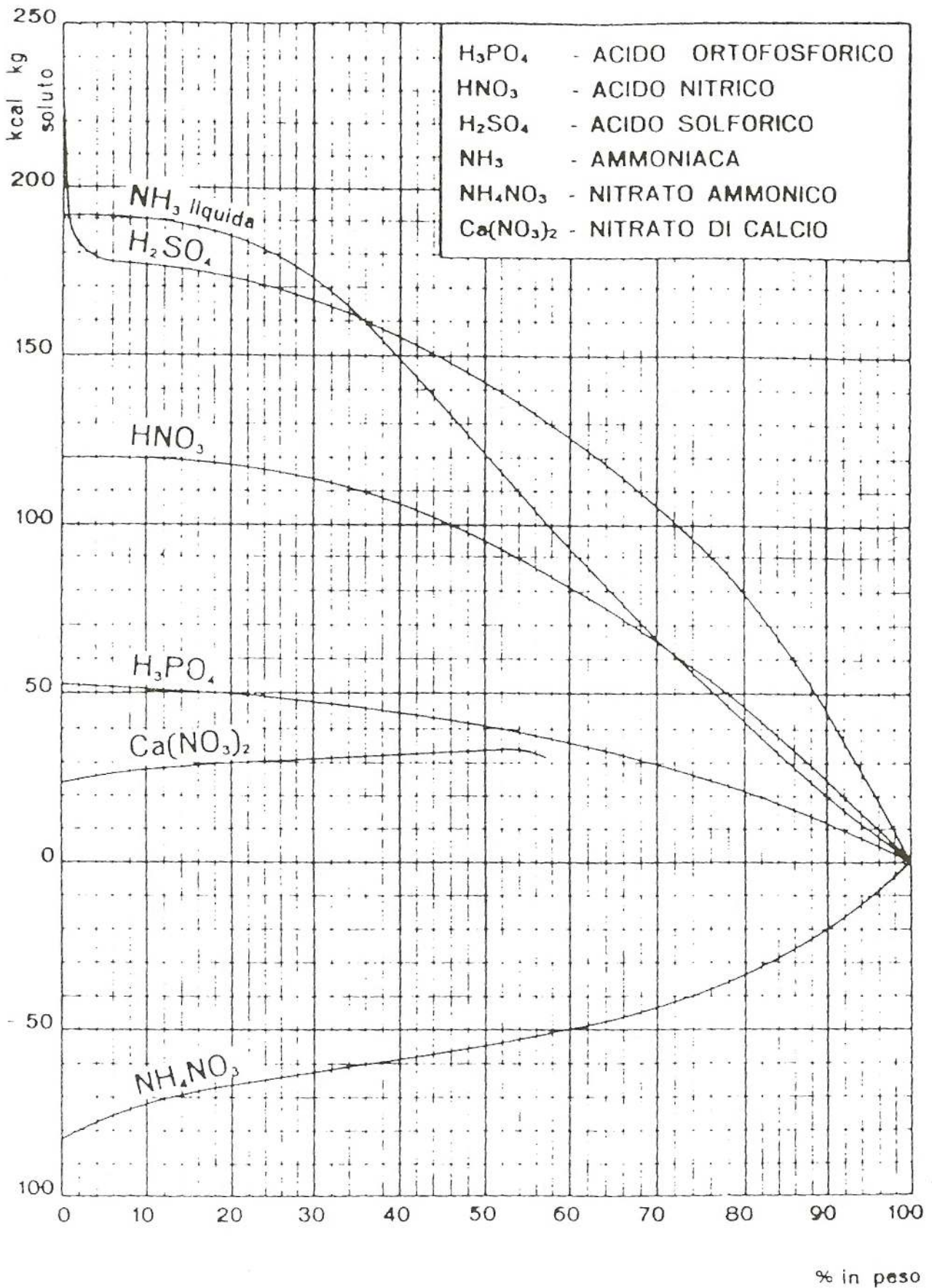


R. Schumacher (1965), Einfluss der Assoziation auf die Enthalpie von Schwefelsäure u. Oleum, Basis: L. Pfandler, Berichte (Wien) 71 (1875) 155 J. N. Brönstedt, Z. Phys. Chem. 68 (1910) 698 S. U. Pickering, J. Chem. Soc. 57 (1890) 94 A. S. Socolik, Z. Phys. Chem. 158 (1932) 307

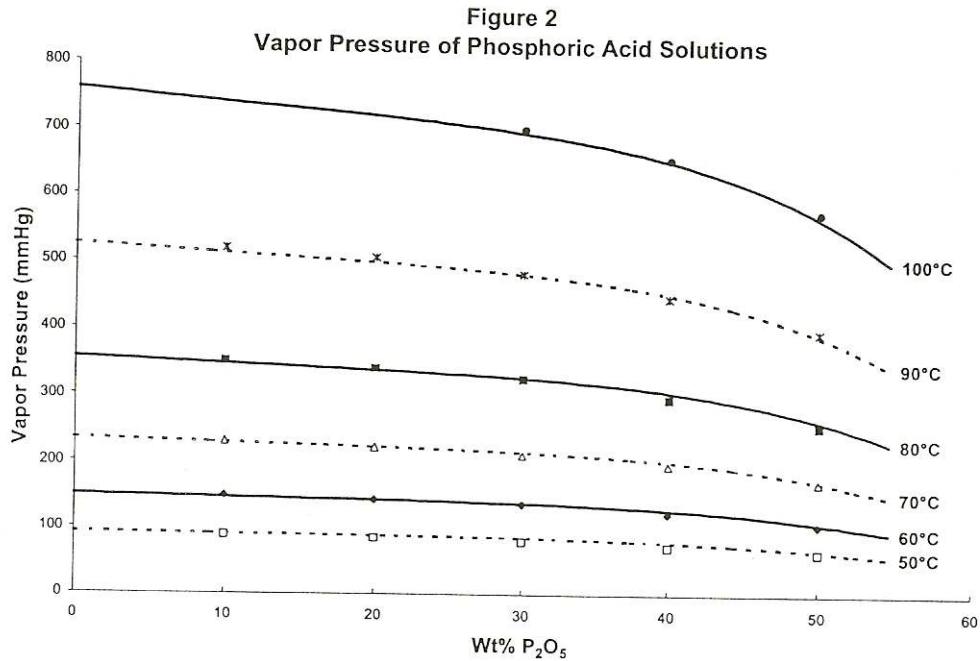
ENTALPIA - CONCENTRACION ACIDO SULFURICO

 Lurgi Chemie u. Hütten-technik GmbH Frankfurt (Main)		H ₂ SO ₄ / OLEUM . Enthalpie-Tabelle										LC-ATLAS					
		H ₂ SO ₄ / OLEUM . Enthalpy Table										Z - 63 - 127					
		Temperatur (°C)					Temperature										
		0	10	20	30	40	50	60	70	80	90	100	110	120	130	140	150
GAS-PHASE		H ₂ SO ₄ Sulfuric Acid															
H ₂ O		Schwefelsäure (%) H ₂ SO ₄															
0		Oleum (%) fr. SO ₃															
10		ASSOCIATIONSENTHALPIE (kcal/kg)															
20		R. Schumacher (1965), Einfluss der Assoziation auf die Enthalpie von Schwefelsäure u. Oleum.															
30		S. U. Pickler, Berichte (Wien) 71 (1875) 155															
40		S. U. Pickler, J. Chem. Soc. 57 (1890) 94															
50		J. N. Brönstedt, Z. Phys. Chem. 68 (1910) 698															
60		A. S. Socollit, Z. Phys. Chem. 158 (1932) 309															
70		159.2 167.4 165.2 167.6 169.6 171.4 173.2 175.0 176.8 178.6 180.4 182.2 184.0 185.8															
80		167.4 165.2 167.6 169.6 171.4 173.2 175.0 176.8 178.6 180.4 182.2 184.0 185.8															
90		165.2 167.6 169.6 171.4 173.2 175.0 176.8 178.6 180.4 182.2 184.0 185.8															
100		163.0 165.4 167.4 169.2 171.0 172.8 174.6 176.4 178.2 180.0 181.8 183.6 185.4															
110		160.8 163.2 165.2 167.0 168.8 170.6 172.4 174.2 176.0 177.8 179.6 181.4 183.2															
120		158.6 161.0 163.0 164.8 166.6 168.4 170.2 172.0 173.8 175.6 177.4 179.2 181.0															
130		156.4 158.8 160.8 162.6 164.4 166.2 168.0 169.8 171.6 173.4 175.2 177.0 178.8															
140		154.2 156.6 158.6 160.4 162.2 164.0 165.8 167.6 169.4 171.2 173.0 174.8 176.6															
150		152.0 154.4 156.4 158.2 160.0 161.8 163.6 165.4 167.2 169.0 170.8 172.6 174.4															

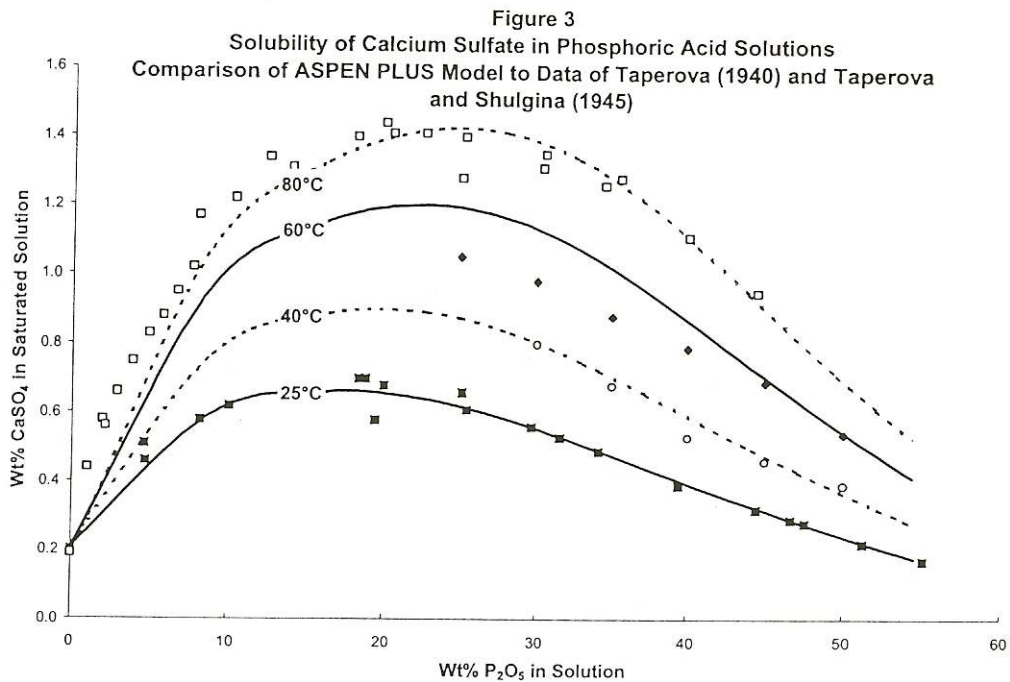
CALOR INTEGRAL DE DISOLUCIÓN Y DILUCIÓN



TENSIÓN DE VAPOR ÁCIDO FOSFÓRICO



SOLUBILIDAD DEL FOSFATO CÁLCICO EN FOSFÓRICO



Calor específico del ácido fosfórico (referencia a 25°C)

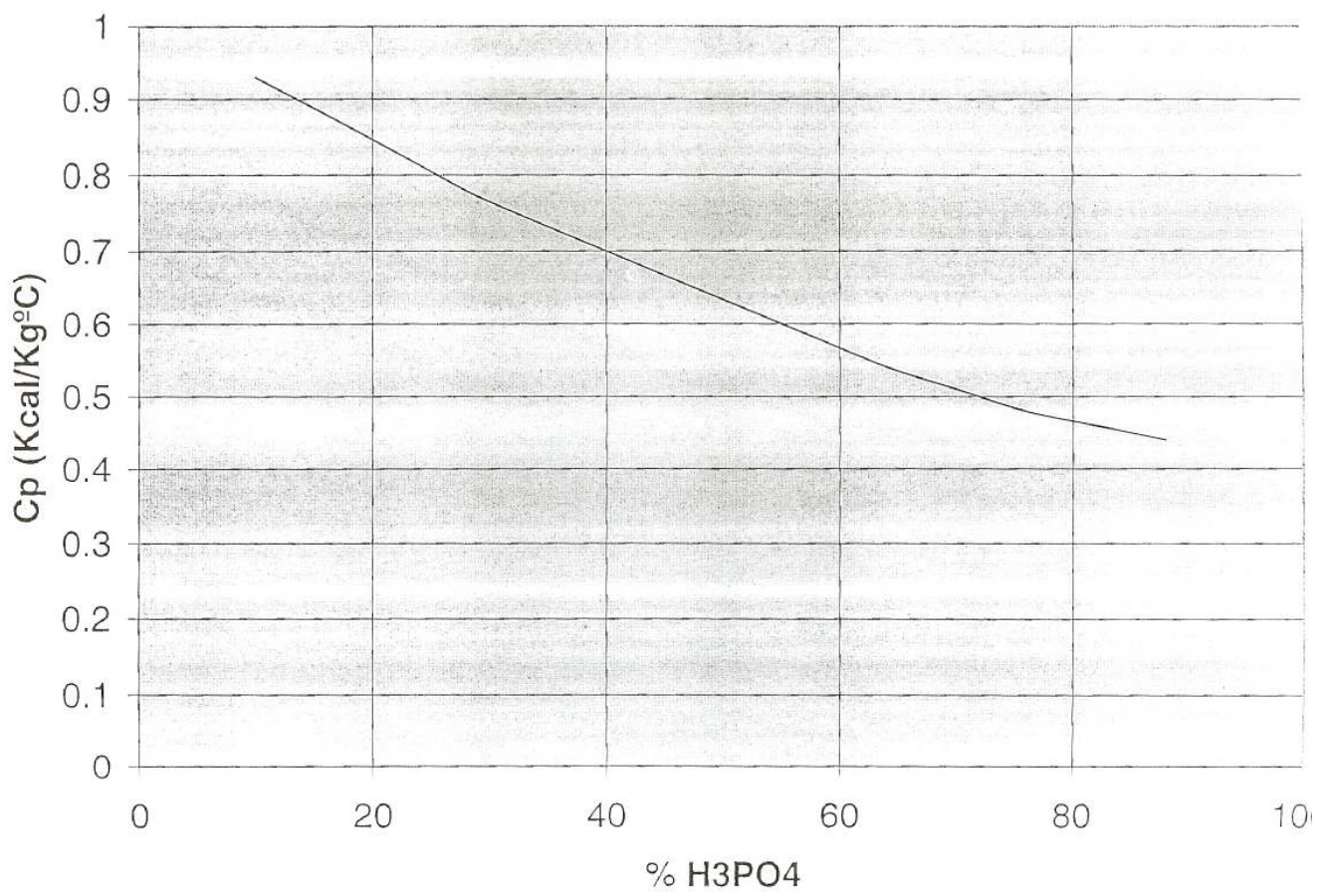


DIAGRAMA TRIANGULAR $P_2O_5 / H_2O / NH_3$

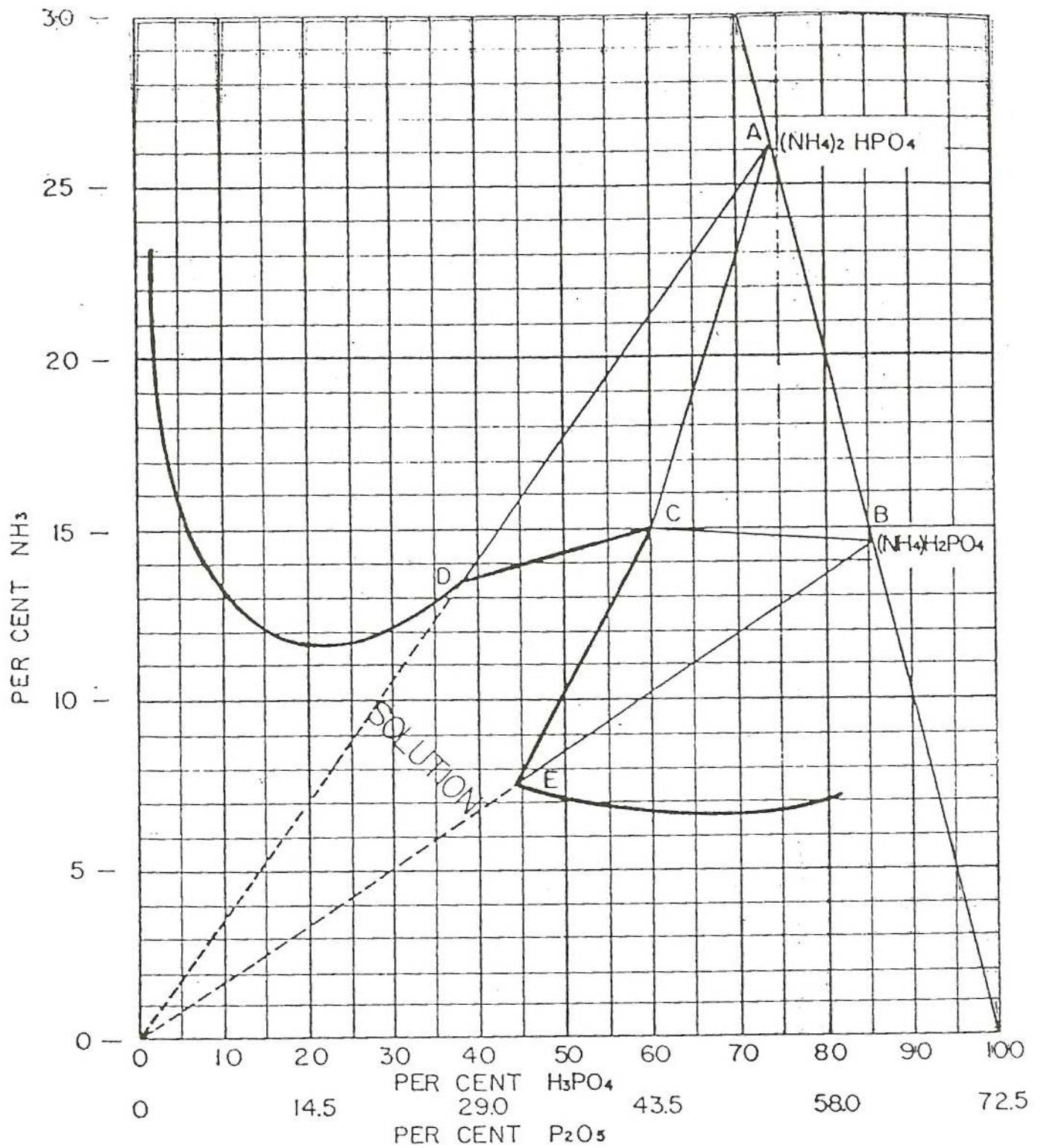
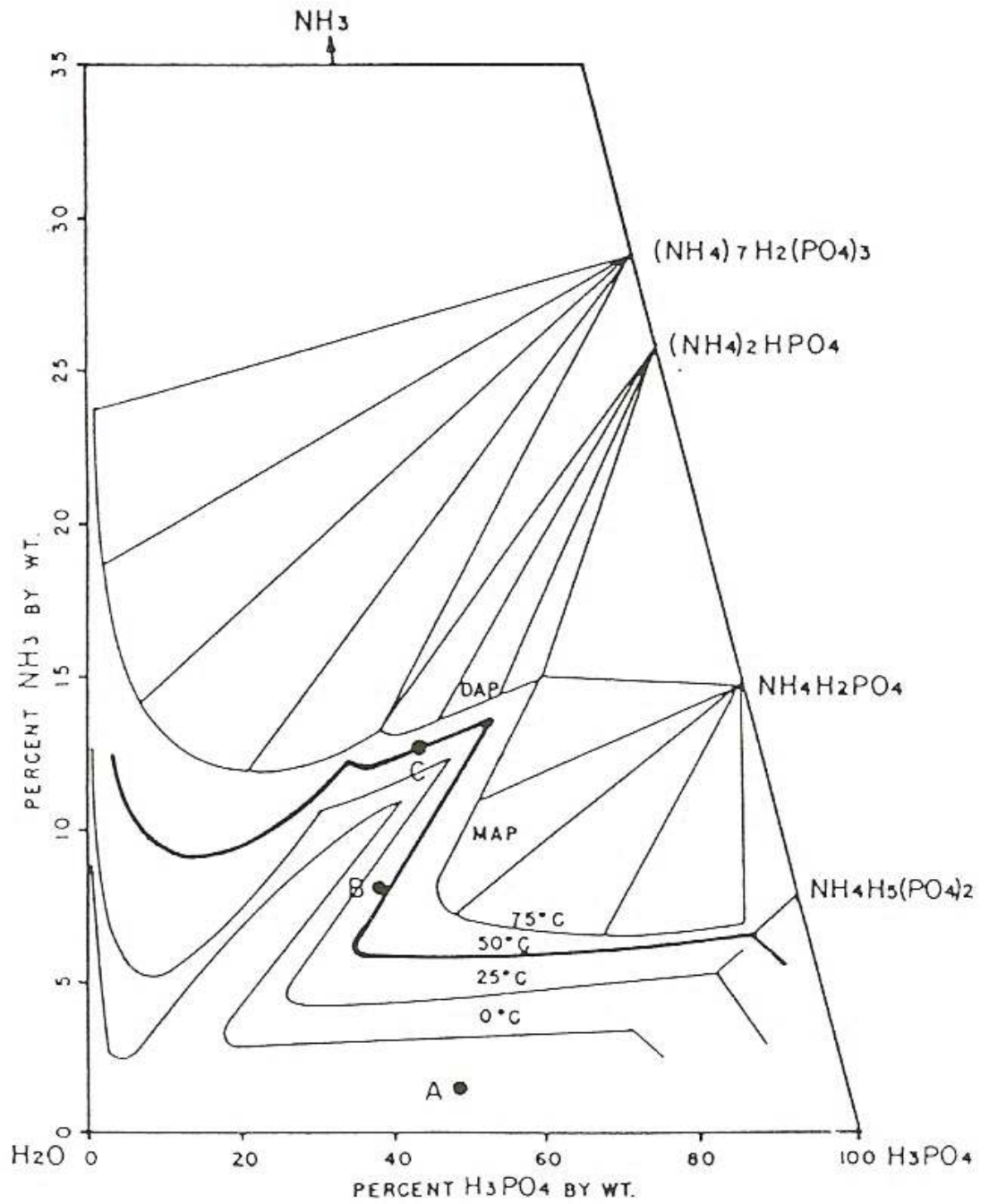


DIAGRAMA TRIANGULAR $P_2O_5 / H_2O / NH_3$



Adapted from data of Brosheer and Anderson, *J. Am. Chem. Soc.*, 68, 904 (1946).

PRESIÓN VAPOR AMONIACO vs RELACIÓN MOLAR $\text{NH}_3/\text{H}_3\text{PO}_4$

CONCENTRATED WATER-SOLUBLE FERTILIZERS

